

Так объект управления находится в области нормального режима, то параметрическое возмущение можно считать ограниченным, но изменяющимся в бесконечном временном интервале. Если возмущение действует на конечном интервале времени, то возникают проблемы управления в динамике. Если возмущение действует на бесконечном интервале, то нужно решать проблемы и в динамике и в установившемся режиме.

В динамическом диапазоне проблема решается выбором робастных настроек ПИД закона регулирования. Для увеличения точности в установившемся режиме в качестве решения можно использовать двухконтурную систему, которая ранее была предложена для парирования внешних ограниченных возмущений [11], [12]. Такая структура представлена на рис. 1.

Из-за наличия параметрической неопределенности в передаточной функции объекта $W_0(p)$ возникает возмущение f_1 , для компенсации которого используется дополнительный сигнал u_1 на входе объекта. Для вычисления f_1 используется номинальная передаточная функция $W_0^0(p)$. При формировании этого сигнала вместо предиктора использована дополнительная номинальная следящая система. Если в идеале предположить, что выход следящей системы точно совпадает с f_1 , то она может быть использована в качестве модели, по которой можно проследить, дополнительное движение в любой точке структурной схемы, вызванное неопределенностью математической модели относительно номинального движения, и использовать эти движения для управления.

Полученная таким образом переменная u_1 используется в системе для компенсации влияния неопределенности на выходную величину. Такой подход позволяет решить задачу обеспечения точности при неопределенности в задании величины запаздывания на входе объекта.

Введение второго контура, состоящего из следящей системы, позволяет уменьшить амплитуду колебаний на выходе, вызванную изменением параметров модели объекта, по сравнению с одноконтурной системой. Было показано [11], [12], что такая система также обладает грубостью по отношению к параметрической неопределенности и запаздыванию, которая соответствует грубости одноконтурной системы.

Поэтому здесь важное значение имеет создание методов робастного управления одноконтурной системой в классе традиционных законов управления, так как они в основном используются при автоматизации технологических процессов [13].

На основании структурной схемы получим

$$f_1(p) = \Delta W(p)u(p), \quad (1)$$

где $\Delta W(p) = W_0(p) - W_0^0(p)$.

$$u_1(p) = W_p(p)f_1(p) - W_p(p)W_0^0(p)u_1(p),$$

$$\varepsilon(p) = g(p) - y(p) = g(p) - (W_0(p)W_p(p)\varepsilon(p) - W_0(p)u_1(p)).$$

Отсюда получим ошибку для реального движения

$$\varepsilon_1(p) = \Phi_{\varepsilon 1}(p)g(p), \quad (2)$$

$$\text{где } \Phi_{\varepsilon 1}(p) = \frac{1 + W_p(p)W_0(p)}{1 + 2W_p(p)W_0(p) + W_p^2(p)W_0^0(p)W_0(p)}.$$

Также для одноконтурной реальной системы известна формула

$$\varepsilon_2(p) = \Phi_{\varepsilon 2}(p)g(p), \quad (3)$$

$$\text{где } \Phi_{\varepsilon 2}(p) = \frac{1}{1 + W_p(p)W_0(p)}.$$

Как видно из формул (2), (3) при постоянных параметрах неопределенности модели объекта $\Delta W(p)$ и при наличии интегратора в передаточной функции $W_p(p)$ в обеих системах обеспечивается астатизм, так как $W_p(p) \rightarrow \infty$ при $p \rightarrow 0$.

Для номинальной одноконтурной системы будет

$$\varepsilon^0(p) = \Phi_{\varepsilon}^0(p)g(p), \quad (4)$$

$$\text{где } \Phi_{\varepsilon}^0(p) = \frac{1}{1 + W_p(p)W_0^0(p)}.$$

При переменных параметрах неопределенности рассмотрим изменение величины ошибки в двухконтурной (2) и в одноконтурной системе (3) по сравнению с номинальной одноконтурной системой (4). С учетом $W(p) = W_0^0(p) + \Delta W(p)$ получим

$$\Delta \varepsilon_1(j\omega) = \varepsilon_1(j\omega) - \varepsilon^0(j\omega) = I_1(j\omega)\Phi_{\varepsilon}^0(j\omega)g(j\omega), \quad (5)$$

где

$$I_1(j\omega) = \frac{W_p(j\omega)\Delta W(j\omega)}{1 + W_p(j\omega)(W_0^0(j\omega) + \Delta W(j\omega)) + W_p(j\omega)(1 + W_p(j\omega)W_0^0(j\omega))(W_0^0(j\omega) + \Delta W(j\omega))}$$

$$\Delta \varepsilon_2(j\omega) = \varepsilon_2(j\omega) - \varepsilon^0(j\omega) = I_2(j\omega)\Phi_{\varepsilon}^0(j\omega)g(j\omega) \quad (6)$$

$$\text{где } I_2(j\omega) = \frac{W_p(j\omega)\Delta W(j\omega)}{1 + W_p(j\omega)(W_0^0(j\omega) + \Delta W(j\omega))}$$

Наличие интегратора в передаточной функции $W_p(p)$ обеспечивает большее уменьшение модуля изменения ошибки (5) в низкочастотной области по сравнению с (6) благодаря второму контуру, так как в знаменателе $I_1(j\omega)$ передаточная функция $W_p(p)$ присутствует в квадрате, а в числителе только в первой степени, а в формуле для $I_2(j\omega)$ везде только в первой степени.

Если, например, для оценки точности использовать максимальные значения модуля для величин (5), (6), то при одинаковом задании g и при заданном изменении параметров неопределенности ΔW в низкочастотной области в двухконтурной системе имеется дополнительный механизм для обеспечения большей близости показателя точности параметрически возмущенной системы к точности номинальной системы. Предварительная оценка близости может проводиться за счет моделирования.

Для примера рассмотрим номинальную передаточную функцию объекта

$$W_0^0(p) = k_0^0 \frac{\exp(-10p)}{15p+1}, \quad (7)$$

где $k_0^0 = 1$.

В качестве передаточной функции регулятора робастной системы рассмотрим ПИ закон

$$W_p(p) = 0.0343 \frac{17p+1}{p}. \quad (8)$$

Пусть в реальном объекте коэффициент передачи изменяется во времени по закону

$$k_0(t) = 1 + 0.3 \sin 0.01t. \quad (9)$$

При этом в передаточной функции номинальной системы использовано медианное значение для коэффициента передачи (9) $k_0^0 = 1$.

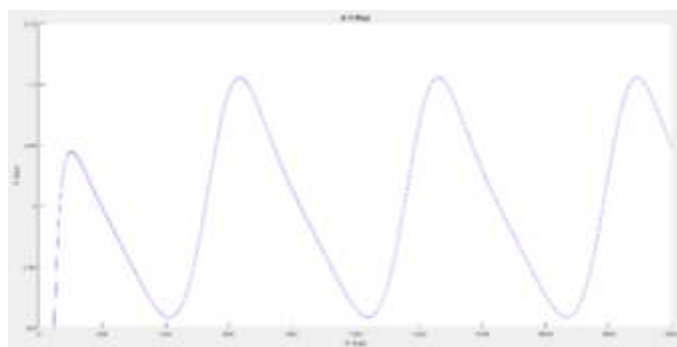


Рис. 2. Переходная характеристика одноконтурной АСП

Тогда переходная характеристика одноконтурной системы (7), (8) имеет вид, показанный на рис. 2. Видно, что в установившемся режиме появляются периодические колебания и кривая выходит за пределы 5%-й зоны.

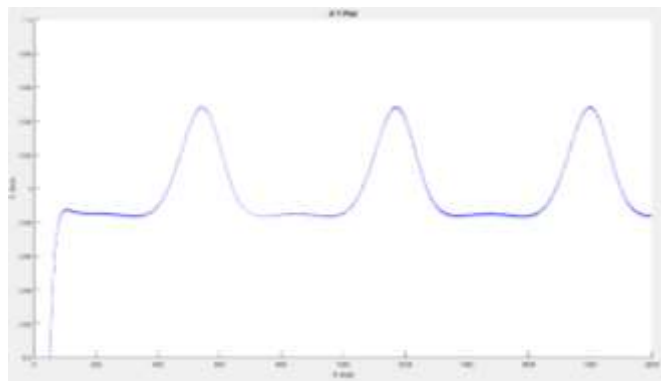


Рис. 3. Переходная характеристика двухконтурной АСП

Соответствующая кривая для двухконтурной системы показана на рис. 3. Видно, что требования точности здесь выполняются.

СПИСОК ЛИТЕРАТУРЫ

- [1] Dynamic Positioning System for Nonlinear MIMO Plants and Surface Robotic Vessel [text] / S.M. Vlasov, A.A. Pyrkin, A.A. Bobtsov, S.A. Kolyubin, M.O. Surov, A.A. Vedyakov, A.D. Feskov, A.Y. Krasnov, O.I. Borisov, V.S. Gromov // IFAC Conference on Manufacturing Modeling, Management, and Control, June 19-21, 2013, Saint Petersburg State University, Saint Petersburg, Russia. P. 1867-1872.
- [2] Simple Robust and Adaptive Tracking Control for Mobile Robots [text] / S.M. Vlasov, A.A. Pyrkin, A.A. Bobtsov, S.A. Kolyubin, M.V. Faronov, O.I. Borisov, V.S. Gromov, N.A. Nikolaev // IFAC Proceedings Volumes (IFAC-PapersOnline), MICNON 2015, Vol. 48, No. 11, pp. 143-149 102
- [3] Output Control Algorithms of Dynamic Positioning and Disturbance Rejection for Robotic Vessel [text] / S.M. Vlasov, J. Wang, A.A. Pyrkin, A.A. Bobtsov, O.I. Borisov, V.S. Gromov, S.A. Kolyubin // IFAC Proceedings Volumes (IFAC-PapersOnline), MICNON 2015, Vol. 48, No. 11, pp. 295-300
- [4] MIMO positioning system for surface robotic vessel [text] / S.M. Vlasov, V.S. Gromov, O.I. Borisov, A.A. Pyrkin, A.A. Bobtsov, S.A. Kolyubin, A.A. Vedyakov // Automation & Control: Proceedings of the International Conference of Young Scientists, 21-22 November 2013, pp. 82-86
- [5] Output Control for Time-Delay Nonlinear System Providing Exponential Stability [text] / A. Bobtsov, A. Pyrkin, M. Faronov // The 19th Mediterranean Conference on Control and Automation (IEEE), Corfu, Greece, 2011.
- [6] Output Control Approach "Consecutive Compensator" Providing Exponential and L-infinity-stability for Nonlinear Systems with Delay and Disturbance [text] / A. Pyrkin, A. Bobtsov, S. Kolyubin, M. Faronov, S. Shavetov, Y. Kapitanyuk, A. Kapitonov // Proc. IEEE Multi-Conference on Systems and Control, Denver, USA, 2011.
- [7] Furtat, I.B. Modified Backstepping Algorithm with Disturbances Compensation [Text] / Furtat I.B., Furtat E., Tupichin E.A. // IFAC Proceedings Volumes (IFAC-PapersOnline). 2015. P. 1056-1061
- [8] Furtat, I.B. Modified Robust Backstepping Algorithm for Plants with Time Delay [Text] / Furtat I.B., Tupichin E.A. // Proc. of the 6th International Congress on Ultra Modern Telecommunications and Control Systems and Workshops (ICUMT). 2014. P. 441-445.
- [9] Furtat, I.B. Modified Simple Adaptive-Robust Backstepping Algorithm [Text] / Furtat I.B., Tupichin E.A. // Proc. of the 19th International Conference on Methods and Models in Automation and Robotics. MMAR. 2014. P. 183-188.

- [10] Фуртат, И.Б. Управление нелинейными объектами с запаздыванием на базе модифицированного алгоритма бэкстеппинга [Текст] /Фуртат И.Б., Тупичин Е.А. // Известия высших учебных заведений. Приборостроение. 2015. Т. 58. № 9. С. 707-712.
- [11] Ремизова О.А., Фокин А.Л. Робастное управление устойчивым техническим объектом при наличии запаздывания по управлению с компенсацией возмущений// Изв. вузов. Приборостроение. 2016. т.59. №12. С. 10–17.
- [12] Гоголь И.В., Ремизова О.А., Сыроквашин В.В., Фокин А.Л. Управление техническими системами с запаздыванием при помощи типовых регуляторов с компенсацией возмущений// Изв. вузов. Приборостроение. 2017. т.60. №9. С. 882–890.
- [13] Денисенко В.В. Разновидности ПИД - регуляторов//Автоматизация в промышленности, 2007, №6, С. 45–50.